



Laboratorium Badań Środowiskowych
ul. Józefa Piasta Dziekońskiego 3
00-728 Warszawa
e-mail: Laboratorium@networks.pl



AB 419

S P R A W O Z D A N I E 1191/2022/OS
Z POMIARÓW PÓŁ ELEKTROMAGNETYCZNYCH
WYKONANYCH DLA POTRZEB OCHRONY ŚRODOWISKA

Badany obiekt: Instalacja radiokomunikacyjna T-Mobile Polska S.A.
Numer i nazwa: 46178 (76178N!) PWR_WROCLAW_SWINIARY
Adres: WROCŁAW, ZALIPIE DZ.5/2, Powiat m. Wrocław, WOJ. DOLNOŚLĄSKIE

Data wykonania pomiarów: 2022-03-30

Sprawozdanie z badań bez pisemnej zgody laboratorium nie może być powielane inaczej niż w całości.
Wynik przedstawione w niniejszym sprawozdaniu odnoszą się wyłącznie do badanego obiektu i do warunków i konfiguracji urządzeń w dniu wykonywania pomiarów.

1. Właściciel badanego obiektu:

T-Mobile Polska S.A., ul. Marynarska 12, 02-674 Warszawa

2. Zleceniodawca:

T-Mobile Polska S.A., ul. Marynarska 12, 02-674 Warszawa

3. Przedstawiciel zleceniodawcy:

NetWorkS! Sp.z o.o.

4. Zakres zlecenia:

Wykonanie badania i opracowanie sprawozdania z pomiarów natężenia pola elektrycznego i pola magnetycznego dla instalacji radiokomunikacyjnej T-Mobile Polska S.A. zlokalizowanej w miejscowości WROCŁAW, ZALIPIE DZ.5/2.

5. Cel zlecenia:

Wykonanie pomiarów pól elektromagnetycznych w otoczeniu instalacji radiokomunikacyjnej 46178 (76178N!) PWR_WROCLAW_SWINIARY w odniesieniu do wymagań określonych w Rozporządzeniu Ministra Klimatu z dnia 17 lutego 2020 r. w sprawie sposobów sprawdzania dotrzymania dopuszczalnych poziomów pól elektromagnetycznych w środowisku (Dz. U. 2020, poz. 258).

6. Pomiary zostały wykonane przez:

Semrau Piotr
Pawlak Ariel

7. Informacje o źródłach pól elektromagnetycznych

7.1. Sposób identyfikacji badanych źródeł pól elektromagnetycznych

Identyfikacji źródeł i parametrów technicznych dokonano na podstawie analizy dokumentacji dotyczącej zlecenia oraz obserwacji miejsca wykonywania badań.

7.2. Opis miejsca zainstalowania anten i urządzeń technicznych. Opis obiektu badań i jego otoczenia

Instalacja radiokomunikacyjna zlokalizowana jest na terenie ogrodzonym. Anteny zawieszono na wieży kratowej. Urządzenia sterujące oraz zasilające zainstalowano w kontenerze u podstawy wieży. Wokół instalacji znajduje się miasto.

Instalacja radiokomunikacyjna jest obiektem bezobsługowym. Okresowe stanowiska pracy związane są z prowadzonymi w zależności od potrzeb konserwacjami, przeglądami, strojeniem i naprawami.

Sprawozdanie z badań bez pisemnej zgody laboratorium nie może być powielane inaczej niż w całości.
Wynik przedstawione w niniejszym sprawozdaniu odnoszą się wyłącznie do badanego obiektu i do warunków i konfiguracji urządzeń w dniu wykonywania pomiarów.

7.3. Parametry techniczne źródła pola elektromagnetycznego

Dane przedstawiające maksymalne parametry pracy instalacji przekazane przez zleceniodawcę:

Parametry systemu nadawczo-odbiorczego:

Charakterystyka promieniowania		kierunkowa					
Rzeczywisty czas pracy [h/dobę]		24					
Warunki pracy		znamionowe					
Rodzaj wytwarzanego pola		stacjonarne					
Lp.	Częstotliwość lub zakresy częstotliwości pracy [MHz]	Typ/producent anteny	liczba anten	Azymut [°]	kąt pochylenia* [°]	Wysokość środka elektrycznego anteny [m n.p.t]	Równoważna moc promieniowana izotropowo (EIRP) [W]
1	900/1800/2100	ATR4518R6 Huawei	1	60	5/4/4	31.2	8585
2	800/2600	ATR4518R6 Huawei	1	60	6/4	31.2	9965
3	900/1800/2100	ATR4518R6 Huawei	1	165	5/5/5	31.2	8585
4	800/2600	ATR4518R6 Huawei	1	165	6/4	31.2	9965
5	900/1800/2100	ATR4518R6 Huawei	1	315	5/4/4	31.2	8585
6	800/2600	ATR4518R6 Huawei	1	315	4/3	31.2	9965

* wskazane wartości kąta pochylenia anten, zgodnie z informacją uzyskaną od zleceniodawcy, są wartościami stałymi

Parametry radiolinii:

Charakterystyka promieniowania			kierunkowa				
Rzeczywisty czas pracy [h/dobę]			24				
Warunki pracy			znamionowe				
Rodzaj wytwarzanego pola			stacjonarne				
Lp.	Linia radiowa			Antena			
	Typ/ Producent	Częstotliwość pracy [GHz]	Równoważna moc promieniowana izotropowo (EIRP) [W]	Typ/ producent	Średnica anteny [m]	Azymut [°]	Wysokość zainstalowania n.p.t [m]
1.	NP ERICSSON ML 6363 23GHz 2x28MHz XPIC NP ERICSSON ML 6352 R2+ 70/80GHz 500MHz Ericsson	23/80	2297/4266	ANT2/2_0.6 23/80 HPX/HP Ericsson	0.6	194	31.6
2.	NP ERICSSON ML 6363 23GHz 2x28MHz XPIC Ericsson	23	2297	ANT2/2_0.6 23/80 HPX/HP Ericsson	0.6	324	30.5

7.4 Inne źródła pól elektromagnetycznych

Na podstawie informacji otrzymanych od użytkownika oraz obserwacji otoczenia miejsca wykonywania pomiarów oraz stwierdzono wystepowanie innych źródeł pola-EM, pracujących w systemie: telefonii komórkowej (800MHz-2600MHz), linii radiowych (5GHz - 90GHz). Nie rozpoznano szczegółowych danych dotyczących parametrów technicznych źródeł pola-EM innych użytkowników.

Sprawozdanie z badań bez pisemnej zgody laboratorium nie może być powielane inaczej niż w całości.
Wynik przedstawione w niniejszym sprawozdaniu odnoszą się wyłącznie do badanego obiektu i do warunków i konfiguracji urządzeń w dniu wykonywania pomiarów.

8. Opis pomiarów

8.1. Metoda badań

Zgodna z rozporządzeniem Ministra Klimatu z dnia 17 lutego 2020 r. w sprawie sposobów sprawdzania dotrzymania dopuszczalnych poziomów pól elektromagnetycznych w środowisku (Dz. U. 2020, poz. 258), określona w pkt 25 ppkt 1 załącznika do niniejszego rozporządzenia.

Zgodnie z art. 122a ust. 1b ustawy Prawo Ochrony Środowiska, w przypadku wprowadzenia na części albo całym terytorium Rzeczypospolitej Polskiej stanu nadzwyczajnego, o którym mowa w art. 228 ust. 1 Konstytucji Rzeczypospolitej Polskiej z dnia 2 kwietnia 1997 r. (Dz. U. poz. 483, z 2001 r. poz. 319, z 2006 r. poz. 1471 oraz z 2009 r. poz. 946), lub stanu zagrożenia epidemicznego lub stanu epidemii, o których mowa w art. 46 ustawy z dnia 5 grudnia 2008 r. o zapobieganiu oraz zwalczaniu zakażeń i chorób zakaźnych u ludzi (Dz. U. z 2019 r. poz. 1239, z późn. zm.8)), pomiarów , nie przeprowadza się w lokalach mieszkalnych oraz w lokalach użytkowych zlokalizowanych na terytorium objętym stanem nadzwyczajnym, stanem zagrożenia epidemicznego lub stanem epidemii.

W związku z obecnie obowiązującym stanem epidemii, pomiarów nie wykonano w lokalach mieszkalnych oraz w lokalach użytkowych zlokalizowanych w obszarze pomiarowym przedmiotowej instalacji radiokomunikacyjnej.

8.2. Termin pomiarów i warunki środowiskowe

Podczas wykonywania pomiarów pól elektromagnetycznych nie występowały opady atmosferyczne. Wyniki pomiaru parametrów pogodowych przedstawia poniższa tabela:

Data [rrrr-mm- dd]	Godzina [hh:mm-hh:mm]	Warunki środowiskowe			
		Temperatura [°C]	Wilgotność względna [%]	Przed pomiarem	Po pomiarach
2022-03-30	11:50-13:00	10	11	58	56

Przedstawione wyżej warunki środowiskowe, występujące podczas wykonywania pomiarów pól elektromagnetycznych, są zgodne ze specyfikacją techniczną użytego zestawu pomiarowego.

8.3. Warunki pracy urządzeń nadawczych

Podczas pomiarów zostały uwzględnione poprawki pomiarowe przekazane przez zleceniodawcę, umożliwiające uwzględnienie maksymalnych parametrów pracy instalacji zgodnie z pkt 7 załącznika do Rozporządzeniem Ministra Klimatu z dnia 17 lutego 2020 r. w sprawie sposobów sprawdzania dotrzymania dopuszczalnych poziomów pól elektromagnetycznych w środowisku (Dz. U. 2020, poz. 258).

8.4. Wyposażenie pomiarowe

Zestaw pomiarowy służący do pomiaru natężenia składowej elektrycznej pola elektromagnetycznego złożony z szerokopasmowego miernika i sondy pomiarowej:

Oznaczenie miernika	Producent	Model	Numer fabryczny	Oznaczenie sondy	Producent	Model	Numer fabryczny
M-04	Narda Safety Test Solution	Miernik pól elektromagnetycznych NBM-550	F-0212	S-04	Narda Safety Test Solution	Sonda EF6092	A-0057

Mierniki natężenia pola elektromagnetycznego podlegają okresowemu sprawdzeniu zgodnie z procedurą wewnętrzną P-03 i PB-01. Świadectwo wzorcowania zestawu pomiarowego z dnia 15 listopada 2021 o numerze LWiMP/W/349/21 wydane przez Laboratorium Wzorców i Metrologii Pola Elektromagnetycznego (LWiMP) Politechniki Wrocławskiej.
Data ważności świadectwa wzorcowania: 15 listopada 2023 (zgodnie z procedurą wewnętrzną P-03).

Oznaczenie miernika	Producent	Model	Numer fabryczny	Oznaczenie sondy	Producent	Model	Numer fabryczny
M-04	Narda Safety Test Solution	Miernik pól elektromagnetycznych NBM-550	F-0212	S-28	Narda Safety Test Solution	Sonda EF0391	D-1595

Mierniki natężenia pola elektromagnetycznego podlegają okresowemu sprawdzeniu zgodnie z procedurą wewnętrzną P-03 i PB-01. Świadectwo wzorcowania zestawu pomiarowego z dnia 2 czerwca 2020 o numerze LWiMP/W/156/20 wydane przez Laboratorium Wzorców i Metrologii Pola Elektromagnetycznego (LWiMP) Politechniki Wrocławskiej.
Data ważności świadectwa wzorcowania: 2 czerwca 2022 (zgodnie z procedurą wewnętrzną P-03).

Sprawozdanie z badań bez pisemnej zgody laboratorium nie może być powielane inaczej niż w całości.
Wynik przedstawione w niniejszym sprawozdaniu odnoszą się wyłącznie do badanego obiektu i do warunków i konfiguracji urządzeń w dniu wykonywania pomiarów.

Termohigrometr:

Oznaczenie:	TH-14	Producent:	AZ INSTRUMENT CORP	Model:	Termohigrometr AZ8706
-------------	-------	------------	--------------------	--------	-----------------------

Data ważności świadectwa wzorcowania: 30 grudnia 2022 (zgodnie z procedurą wewnętrzną P-03).

Dalmierz:

Oznaczenie	Producent	Typ	Numer seryjny	Nr świadectwa wzorcowania	Data świadectwa wzorcowania
D-01	Leica	Dalmierz Leica Disto X310	843810238	1146.7-M11-4180-396/15	8 kwietnia 2015

Data ważności świadectwa wzorcowania: 8 kwietnia 2025 (zgodnie z procedurą wewnętrzną P-03).

9. Wyniki pomiarów

Pole elektryczne

Nr pionu	Opis umiejscowienia pionu (punktu) pomiarowego	Wysokość pomiaru [m]	Zmierzona wartość natężenia pola elektrycznego E [V/m] ^{1,5}			Wartość natężenia pola elektrycznego po uwzględnieniu poprawek pomiarowych powiększona o niepewność pomiaru ⁴ E [V/m]	Wskaźnikowa wartość poziomu emisji pól elektromagnetycznych WME ³	Współrzędne geograficzne pionu (punktu) pomiarowego ²
			Sonda S-04	Sonda S-28	SUMA			
1	GKP w odległości 5m od anteny sektorowej az. 165°	0,3-2,0	<1,0	<1,0	<1,0	2.2	0.08	51°11'45.96" 16°58'50.879"
2	GKP w odległości 19m od anteny sektorowej az. 165°	0,3-2,0	<1,0	<1,0	<1,0	2.2	0.08	51°11'45.599" 16°58'51.239"
3	GKP w odległości 37m od anteny sektorowej az. 165°	0,3-2,0	<1,0	<1,0	<1,0	2.2	0.08	51°11'44.879" 16°58'51.239"
4	GKP w odległości 55m od anteny sektorowej az. 165°	0,3-2,0	<1,0	<1,0	<1,0	2.2	0.08	51°11'44.52" 16°58'51.6"
5	GKP w odległości 10m od anteny radioliniowej az. 194°	0,3-2,0	<1,0	<1,0	<1,0	2.2	0.08	51°11'45.96" 16°58'50.519"
6	GKP w odległości 27m od anteny radioliniowej az. 194°	0,3-2,0	<1,0	<1,0	<1,0	2.2	0.08	51°11'45.24" 16°58'50.519"
7	PPP w odległości 16m od anteny sektorowej az. 315°	0,3-2,0	<1,0	<1,0	<1,0	2.2	0.08	51°11'45.96" 16°58'49.799"
8	GKP w odległości 8m od anteny sektorowej az. 315°	0,3-2,0	<1,0	<1,0	<1,0	2.2	0.08	51°11'46.319" 16°58'50.519"
9	GKP w odległości 20m od anteny sektorowej az. 315°	0,3-2,0	<1,0	<1,0	<1,0	2.2	0.08	51°11'46.68" 16°58'49.799"
10	GKP w odległości 35m od anteny sektorowej az. 315°	0,3-2,0	<1,0	<1,0	<1,0	2.2	0.08	51°11'47.039" 16°58'49.439"
11	GKP w odległości 48m od anteny sektorowej az. 315°	0,3-2,0	<1,0	<1,0	<1,0	2.2	0.08	51°11'47.4" 16°58'49.079"
12	GKP w odległości 14m od anteny radioliniowej az. 324°	0,3-2,0	<1,0	<1,0	<1,0	2.2	0.08	51°11'46.68" 16°58'50.519"
13	GKP w odległości 22m od anteny radioliniowej az. 324°	0,3-2,0	<1,0	<1,0	<1,0	2.2	0.08	51°11'46.68" 16°58'50.159"
14	GKP w odległości 6m od anteny sektorowej az. 60°	0,3-2,0	<1,0	<1,0	<1,0	2.2	0.08	51°11'46.319" 16°58'51.239"
15	GKP w odległości 19m od anteny sektorowej az. 60°	0,3-2,0	<1,0	<1,0	<1,0	2.2	0.08	51°11'46.319" 16°58'51.6"
16	GKP w odległości 35m od anteny sektorowej az. 60°	0,3-2,0	<1,0	<1,0	<1,0	2.2	0.08	51°11'46.68" 16°58'52.32"

Sprawozdanie z badań bez pisemnej zgody laboratorium nie może być powielane inaczej niż w całości.

Wynik przedstawione w niniejszym sprawozdaniu odnoszą się wyłącznie do badanego obiektu i do warunków i konfiguracji urządzeń w dniu wykonywania pomiarów.

17	GKP w odległości 55m od anteny sektorowej az. 60°	0,3-2,0	<1,0	<1,0	<1,0	2.2	0.08	51°11'47.039" 16°58'53.4"
18	GKP w odległości 71m od anteny sektorowej az. 60°	0,3-2,0	<1,0	<1,0	<1,0	2.2	0.08	51°11'47.4" 16°58'54.12"
19	GKP w odległości 85m od anteny sektorowej az. 60°, płaszczyzna okna budynku mieszkalnego ul. Zaliwie	0,3-2,0	<1,0	<1,0	<1,0	2.2	0.08	51°11'47.4" 16°58'54.479"
20	PPP w odległości 28m od anteny sektorowej az. 60°	0,3-2,0	<1,0	<1,0	<1,0	2.2	0.08	51°11'47.039" 16°58'51.6"
21	Płaszczyzna okna budynku biurowego ul. Zaliwie	0,3-2,0	<1,0	<1,0	<1,0	2.2	0.08	51°11'45.96" 16°58'51.96"
-	GKP w odległości 165m od anteny sektorowej az. 315°	0,3-2,0	<1,0	<1,0	<1,0	2.2	0.08	51°11'49.92" 16°58'44.759"
-	GKP w odległości 339m od anteny sektorowej az. 315°	0,3-2,0	<1,0	<1,0	<1,0	2.2	0.08	51°11'53.88" 16°58'38.279"
-	GKP w odległości 231m od anteny sektorowej az. 60°	0,3-2,0	<1,0	<1,0	<1,0	2.2	0.08	51°11'49.92" 16°59'1.319"
-	GKP w odległości 320m od anteny sektorowej az. 60°	0,3-2,0	<1,0	<1,0	<1,0	2.2	0.08	51°11'51.36" 16°59'5.279"
-	GKP w odległości 161m od anteny sektorowej az. 165°	0,3-2,0	<1,0	<1,0	<1,0	2.2	0.08	51°11'40.919" 16°58'53.04"
-	GKP w odległości 321m od anteny sektorowej az. 165°	0,3-2,0	<1,0	<1,0	<1,0	2.2	0.08	51°11'35.88" 16°58'55.199"

Pole magnetyczne (wyznaczone na podstawie pomiaru wartości natężenia pola elektrycznego)

Nr pionu	Opis umiejscowienia pionu (punktu) pomiarowego	Wysokość pomiaru [m]	Wartość natężenia pola magnetycznego H [A/m] ¹			Wartość natężenia pola magnetycznego po uwzględnieniu poprawek pomiarowych powiększona o niepewność pomiaru ⁴ H [A/m]	Wskaźnikowa wartość poziomu emisji pól elektromagnetycznych WM _H ³	Współrzędne geograficzne pionu (punktu) pomiarowego ²
			Sonda S-04	Sonda S-28	SUMA			
1	GKP w odległości 5m od anteny sektorowej az. 165°	0,3-2,0	<0.003*	<0.003*	<0.003*	0.006	0.08	51°11'45.96" 16°58'50.879"
2	GKP w odległości 19m od anteny sektorowej az. 165°	0,3-2,0	<0.003*	<0.003*	<0.003*	0.006	0.08	51°11'45.599" 16°58'51.239"
3	GKP w odległości 37m od anteny sektorowej az. 165°	0,3-2,0	<0.003*	<0.003*	<0.003*	0.006	0.08	51°11'44.879" 16°58'51.239"
4	GKP w odległości 55m od anteny sektorowej az. 165°	0,3-2,0	<0.003*	<0.003*	<0.003*	0.006	0.08	51°11'44.52" 16°58'51.6"
5	GKP w odległości 10m od anteny radioliniowej az. 194°	0,3-2,0	<0.003*	<0.003*	<0.003*	0.006	0.08	51°11'45.96" 16°58'50.519"
6	GKP w odległości 27m od anteny radioliniowej az. 194°	0,3-2,0	<0.003*	<0.003*	<0.003*	0.006	0.08	51°11'45.24" 16°58'50.519"
7	PPP w odległości 16m od anteny sektorowej az. 315°	0,3-2,0	<0.003*	<0.003*	<0.003*	0.006	0.08	51°11'45.96" 16°58'49.799"
8	GKP w odległości 8m od anteny sektorowej az. 315°	0,3-2,0	<0.003*	<0.003*	<0.003*	0.006	0.08	51°11'46.319" 16°58'50.519"
9	GKP w odległości 20m od anteny sektorowej az. 315°	0,3-2,0	<0.003*	<0.003*	<0.003*	0.006	0.08	51°11'46.68" 16°58'49.799"

Sprawozdanie z badań bez pisemnej zgody laboratorium nie może być powielane inaczej niż w całości.

Wynik przedstawione w niniejszym sprawozdaniu odnoszą się wyłącznie do badanego obiektu i do warunków i konfiguracji urządzeń w dniu wykonywania pomiarów.

10	GKP w odległości 35m od anteny sektorowej az. 315°	0,3-2,0	<0.003*	<0.003*	<0.003*	0.006	0.08	51°11'47.039" 16°58'49.439"
11	GKP w odległości 48m od anteny sektorowej az. 315°	0,3-2,0	<0.003*	<0.003*	<0.003*	0.006	0.08	51°11'47.4" 16°58'49.079"
12	GKP w odległości 14m od anteny radioliniowej az. 324°	0,3-2,0	<0.003*	<0.003*	<0.003*	0.006	0.08	51°11'46.68" 16°58'50.519"
13	GKP w odległości 22m od anteny radioliniowej az. 324°	0,3-2,0	<0.003*	<0.003*	<0.003*	0.006	0.08	51°11'46.68" 16°58'50.159"
14	GKP w odległości 6m od anteny sektorowej az. 60°	0,3-2,0	<0.003*	<0.003*	<0.003*	0.006	0.08	51°11'46.319" 16°58'51.239"
15	GKP w odległości 19m od anteny sektorowej az. 60°	0,3-2,0	<0.003*	<0.003*	<0.003*	0.006	0.08	51°11'46.319" 16°58'51.6"
16	GKP w odległości 35m od anteny sektorowej az. 60°	0,3-2,0	<0.003*	<0.003*	<0.003*	0.006	0.08	51°11'46.68" 16°58'52.32"
17	GKP w odległości 55m od anteny sektorowej az. 60°	0,3-2,0	<0.003*	<0.003*	<0.003*	0.006	0.08	51°11'47.039" 16°58'53.4"
18	GKP w odległości 71m od anteny sektorowej az. 60°	0,3-2,0	<0.003*	<0.003*	<0.003*	0.006	0.08	51°11'47.4" 16°58'54.12"
19	GKP w odległości 85m od anteny sektorowej az. 60°, płaszczyzna okna budynku mieszkalnego ul. Zalipie	0,3-2,0	<0.003*	<0.003*	<0.003*	0.006	0.08	51°11'47.4" 16°58'54.479"
20	PPP w odległości 28m od anteny sektorowej az. 60°	0,3-2,0	<0.003*	<0.003*	<0.003*	0.006	0.08	51°11'47.039" 16°58'51.6"
21	Płaszczyzna okna budynku biurowego ul. Zalipie	0,3-2,0	<0.003*	<0.003*	<0.003*	0.006	0.08	51°11'45.96" 16°58'51.96"
-	GKP w odległości 165m od anteny sektorowej az. 315°	0,3-2,0	<0.003*	<0.003*	<0.003*	0.006	0.08	51°11'49.92" 16°58'44.759"
-	GKP w odległości 339m od anteny sektorowej az. 315°	0,3-2,0	<0.003*	<0.003*	<0.003*	0.006	0.08	51°11'53.88" 16°58'38.279"
-	GKP w odległości 231m od anteny sektorowej az. 60°	0,3-2,0	<0.003*	<0.003*	<0.003*	0.006	0.08	51°11'49.92" 16°59'1.319"
-	GKP w odległości 320m od anteny sektorowej az. 60°	0,3-2,0	<0.003*	<0.003*	<0.003*	0.006	0.08	51°11'51.36" 16°59'5.279"
-	GKP w odległości 161m od anteny sektorowej az. 165°	0,3-2,0	<0.003*	<0.003*	<0.003*	0.006	0.08	51°11'40.919" 16°58'53.04"
-	GKP w odległości 321m od anteny sektorowej az. 165°	0,3-2,0	<0.003*	<0.003*	<0.003*	0.006	0.08	51°11'35.88" 16°58'55.199"

GKP – Główny Kierunek Pomiarowy

PPP – Pomocniczy Pion pomiarowy

¹ wyniki oznaczone * są wynikami poniżej czułości zestawu pomiarowego

² współrzędne geograficzne pozyskane metodą obliczeniową w oparciu o pomiar punktu referencyjnego

³ do wyznaczenia wartości wskaźnikowej WM_E i WM_H przyjęto na podstawie uzgodnień z klientem oraz rozpoznania źródeł, jako wartości dopuszczalne pola elektrycznego i magnetycznego odpowiednio 28 V/m i 0,073 A/m.

⁴ do wyznaczenia niepewności dla wyników poniżej czułości zestawu pomiarowego, przyjęto niepewność dla minimalnej wartości z zakresu pomiarowego.

⁵ maksymalna wartość chwilowa

Niepewność oszacowana zgodnie z dokumentem P-03 „Procedura nadzoru nad wyposażeniem” w postaci niepewności rozszerzonej wynikającej z niepewności standardowej pomnożonej przez współczynnik rozszerzenia k=2.

Całkowita szacowana niepewność rozszerzona składowej E wynosi odpowiednio:

sonda S-04: 30.5% dla częstotliwości do 3 GHz, sonda S-28: 28.8% dla częstotliwości do 3 GHz

Dla przedmiotowych pomiarów zleceniodawca określił poprawkę pomiarową = 1.65.

Sprawozdanie z badań bez pisemnej zgody laboratorium nie może być powielane inaczej niż w całości.

Wynik przedstawione w niniejszym sprawozdaniu odnoszą się wyłącznie do badanego obiektu i do warunków i konfiguracji urządzeń w dniu wykonywania pomiarów.

Umiejscowienie pionów (punktów) pomiarowych przedstawiono w nr 2 do niniejszego sprawozdania.

10. Omówienie wyników pomiarów

Wyniki pomiarów uzyskane zostały przy uwzględnieniu poprawek pomiarowych przekazanych przez zleceniodawcę, umożliwiających uwzględnienie maksymalnych parametrów pracy instalacji zleceniodawcy oraz innych operatorów występujących w obszarze pomiarowym.

W wyniku zastosowania sposobu sprawdzenia dotrzymania dopuszczalnych poziomów pól elektromagnetycznych w środowisku, zgodnie pkt 25 ppkt 1 Rozporządzenia Ministra Klimatu z dnia 17 lutego 2020 r. (Dz. U. 2020, poz. 258), w związku z tym, że żadna z wartości wskaźnikowych, udokumentowanych w tabelach w pkt. 9 nie przekracza wartości 1, stwierdza się, że w miejscowościach, w których wykonano pomiary w otoczeniu instalacji radiokomunikacyjnej 46178 (76178N!) PWR_WROCLAW_SWINIARY, dopuszczalne poziomy pól elektromagnetycznych w środowisku należy uznać za dotrzymane.

11. Podstawa prawna

- 1) Ustawa z dnia 27 kwietnia 2001 r. Prawo ochrony środowiska (t. j. Dz. U. z 2020 r., poz. 1219 z późn.zm.)
- 2) Rozporządzenie Ministra Zdrowia z dnia 17 grudnia 2019 r. w sprawie dopuszczalnych poziomów pól elektromagnetycznych w środowisku (Dz. U. 2019, poz. 2448)
- 3) Rozporządzenie Ministra Klimatu z dnia 17 lutego 2020 r. w sprawie sposobów sprawdzania dotrzymania dopuszczalnych poziomów pól elektromagnetycznych w środowisku (Dz. U. 2020, poz. 258),
- 4) Akredytacja nr AB 419 wydana przez Polskie Centrum Akredytacji (wydanie 19, z dnia 28 lutego 2022r.).

12. Spis załączników

Załącznik 1. Lokalizacja obiektu badań

Załącznik 2. Usytuowanie pionów (punktów) pomiarowych

Załącznik 3. Dokumentacja fotograficzna obiektu badań

13. Data wydania i autoryzowania sprawozdania

Obliczenia i sprawozdanie wykonał :



Signed by /
Podpisano przez:

Agnieszka
Härbczewicz

Date / Data: 2022-
04-06 09:59

Sprawozdanie autoryzował:



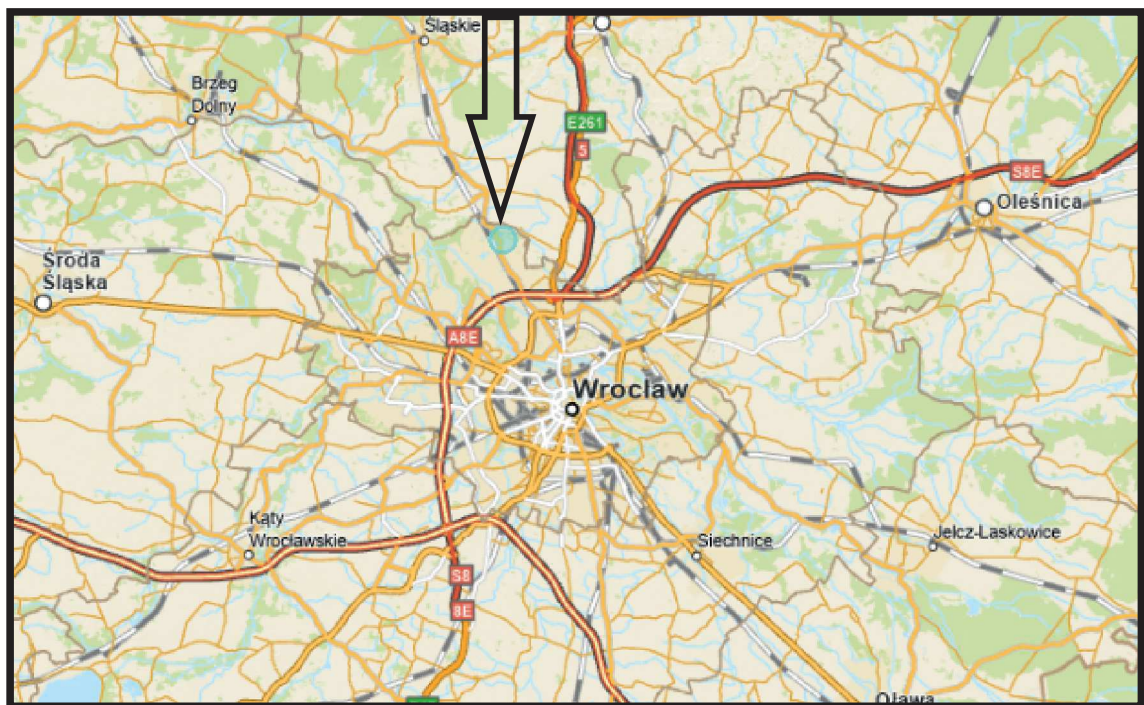
Signed by /
Podpisano przez:

Przemysław
Michał Bąbik

Date / Data: 2022-
04-06 10:07

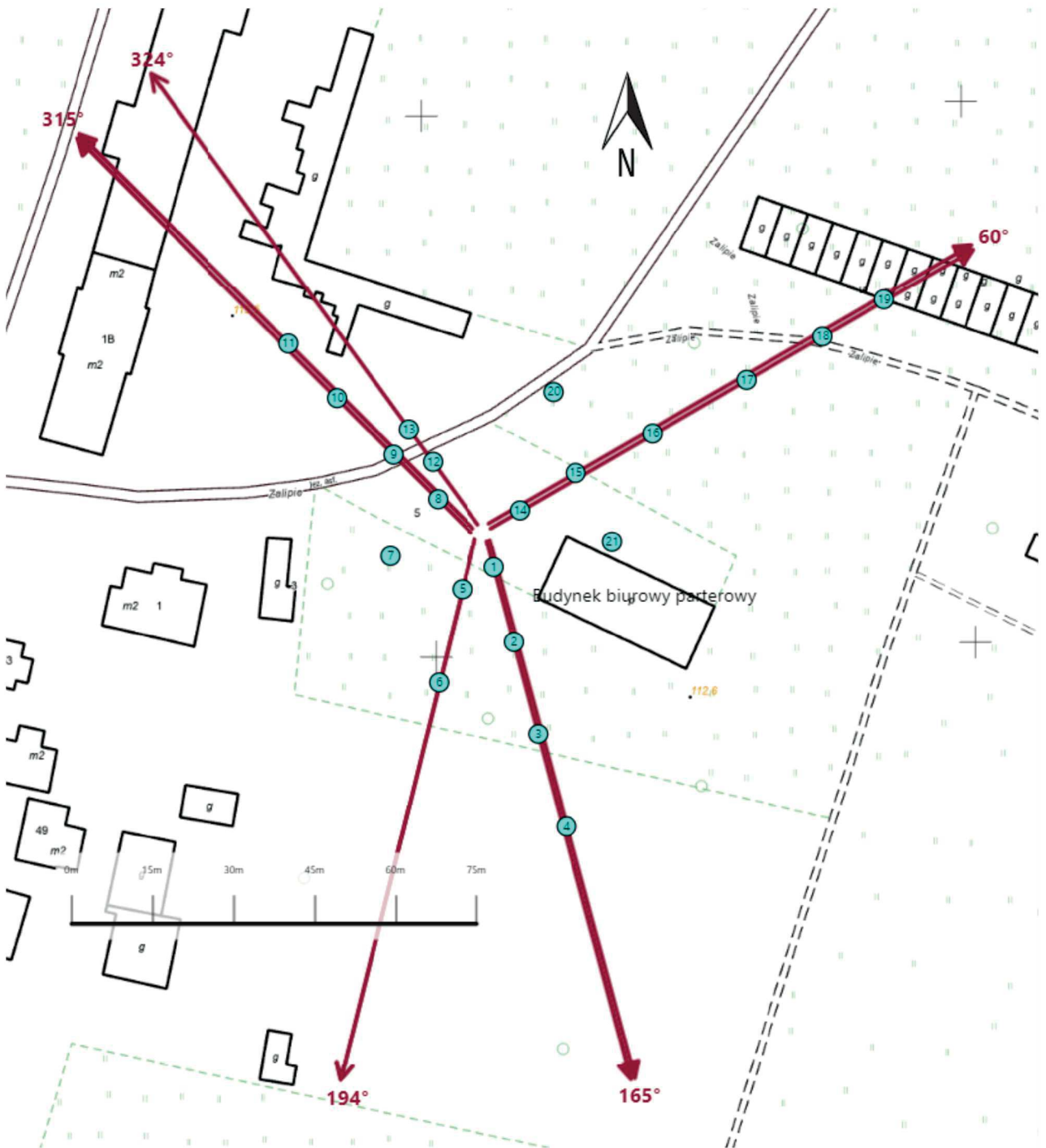
Koniec sprawozdania

Sprawozdanie z badań bez pisemnej zgody laboratorium nie może być powielane inaczej niż w całości.
Wynik przedstawione w niniejszym sprawozdaniu odnoszą się wyłącznie do badanego obiektu i do warunków i konfiguracji urządzeń w dniu wykonywania pomiarów.



Załącznik nr 1	INSTALACJA RADIOKOMUNIKACYJNA T-Mobile Polska S.A. 46178 (76178N!) PWR_WROCLAW_SWINIARY Lokalizacja instalacji radiokomunikacyjnej
----------------	---

Sprawozdanie z badań bez pisemnej zgody laboratorium nie może być powielane inaczej niż w całości.
Wynik przedstawione w niniejszym sprawozdaniu odnoszą się wyłącznie do badanego obiektu i do warunków i konfiguracji urządzeń w dniu wykonywania pomiarów.



Załącznik nr 2	Instalacja radiokomunikacyjna T-Mobile Polska S.A. PWR_WROCLAW_SWINIARY (76178NI) Usytuowanie pionów pomiarowych w otoczeniu instalacji radiokomunikacyjnej		
Legenda:	Pion pomiarowy Kierunek oddziaływania anten sektorowych Kierunek oddziaływania anten radioliniowych		



Załącznik nr 3

INSTALACJA RADIOKOMUNIKACYJNA T-Mobile Polska S.A. 46178 (76178N!) PWR_WROCLAW_SWINIARY

Zdjęcia instalacji radiokomunikacyjnej

Sprawozdanie z badań bez pisemnej zgody laboratorium nie może być powielane inaczej niż w całości.
Wynik przedstawione w niniejszym sprawozdaniu odnoszą się wyłącznie do badanego obiektu i do warunków i konfiguracji urządzeń w dniu wykonywania pomiarów.